

**А.В.Волков**, докт.техн.наук (Запорожская государственная инженерная академия), **И.А.Косенко** (Запорожский национальный технический университет)

## **СОВЕРШЕНСТВОВАНИЕ ПРОГНОЗИРУЮЩЕГО РЕЛЕЙНО-ВЕКТОРНОГО УПРАВЛЕНИЯ АКТИВНЫМ ВЫПРЯМИТЕЛЕМ ТОКА В АСИНХРОННОМ ЭЛЕКТРОПРИВОДЕ С АВТОНОМНЫМ ИНВЕРТОРОМ ТОКА**

*На основе проведенного анализа электромагнитных процессов в активном выпрямителе тока (АВТ), питаемом асинхронный электропривод с автономным инвертором тока, усовершенствован способ прогнозирующего релейно-векторного управления АВТ. Для предложенного управления с использованием имитационного моделирования дана количественная оценка достигаемых электромеханических процессов указанного электропривода и его электромагнитной совместимости с питающей сетью.*

*На основі проведеного аналізу електромагнітних процесів у активному випрямлячі струму (ABC), що живить асинхронний електропривод з автономним інвертором струму, удосконалено спосіб прогнозуючого релейно-векторного керування ABC. Для запропонованого керування з використанням імітаційного моделювання дана кількісна оцінка електромеханічних процесів, які досягаються в зазначеному електроприводі та його електромагнітної сумісності з мережею живлення.*

С учетом промышленного освоения фирмой Rockwell Automation выпуска частотно-регулируемых асинхронных электроприводов (АЭП) на основе автономного инвертора тока (АИТ) на запираемых тиристорах [4], успешно конкурирующих с АЭП на основе автономного инвертора напряжения с широтно-импульсной модуляцией в диапазоне напряжений от 2400 до 6600 В, в зарубежной научно-технической литературе уделяется повышенное внимание управлению активным выпрямителем тока (АВТ), входящим в состав АЭП с АИТ [10]. Это обусловлено важным назначением АВТ – обеспечением улучшенных регулировочных свойств АЭП с АИТ и электромагнитной совместимости (ЭМС) указанного электропривода с питающей сетью.

В ряде известных публикаций, посвященных управлению АВТ, используются способы широтно-импульсной модуляции (ШИМ) с явно выраженным модуляторами или выборочным исключением гармоник либо векторной ШИМ [3,6,10,11], которым присуща повышенная техническая сложность реализации, связанная с существенным усложнением системы регулирования за счет введения демпфирующих связей по производным сетевых токов для устранения колебаний, вызванных высокой добротностью сетевого фильтра [9]. Технически более простыми и более быстродействующими являются системы с прогнозирующим релейно-векторным (ПРВ) управлением АВТ [7,8]. Однако последнему виду управления при этом присущи увеличенное количество используемых датчиков (сетевых напряжения и тока, входного напряжения и выходного тока АВТ), громоздкость вычислений при определении текущих комбинаций силовых ключей АВТ и зависимость этих вычислений от параметров (активных сопротивлений, индуктивностей и емкостей) элементов силовой цепи, некоторые из которых могут изменяться в процессе работы АЭП и влиять на качество регулирования сетевых токов и коэффициента мощности данного АЭП. При этом во всех известных публикациях остаются недостаточно исследованными качественные показатели ЭМС (значения сетевого коэффициента мощности и общего коэффициента гармоник сетевого тока) АЭП на основе АИТ с питающей сетью, достижимые посредством АВТ.

Целью данной статьи является совершенствование в части упрощения, повышения быстродействия и точности ПРВ управления АВТ для асинхронного электропривода с АИТ на запираемых тиристорах и количественная оценка электромеханических процессов данного АЭП и его электромагнитной совместимости (сетевого коэффициента мощности и общего коэффициента гармоник сетевого тока) с питающей сетью.

Задача управления АВТ состоит в выборе текущей комбинации  $m$  его силовых ключей, обеспечивающей быстродействующее и точное регулирование на заданном уровне  $I_d^*$  входного тока  $I_d$

инвертора  $I_d^* \approx I_d$  при одновременном поддержании значения сетевого коэффициента мощности  $K_M$  АВТ, близким к единице  $K_M \approx 1$ .

На первом этапе исследуем стационарные электромагнитные процессы, протекающие в сетевом фильтре и АВТ. На рис. 1, а показана функциональная схема АЭП на основе АИТ, силовая часть которого содержит: АВТ, выполненный на запираемых тиристорах  $V1-V6$ ; сглаживающий дроссель  $L_d$ ; АИТ, выполненный на запираемых тиристорах  $V7-V12$ ; сетевой фильтр СФ, состоящий из реакторов  $L_\phi$ , конденсаторов  $C_K$  и резисторов  $R_K$ , где последние служат для демпфирования высокочастотных составляющих тока; конденсаторы  $C_H$ ; асинхронный двигатель АД. В схеме на рис. 1, а приняты следующие обозначения:  $U_{\phi a}, U_{\phi b}$  и  $U_{\phi c}$  – сетевые фазные напряжения питающей сети;  $I_{\phi a}, I_{\phi b}$  и  $I_{\phi c}$  – сетевые фазные токи;  $I_{na}, I_{nb}, I_{nc}$  и  $U_{na}, U_{nb}, U_{nc}$  – входные фазные соответственно токи и напряжения АВТ;  $I_{ka}, I_{kb}$  и  $I_{kc}$  – токи трех конденсаторов  $C_K$  фильтра СФ. Показанные в схеме на рис. 1, а резисторы  $R_\phi$  и  $R_d$  учитывают соответственно активные сопротивления реакторов сетевого фильтра СФ и сглаживающего дросселя  $L_d$ .

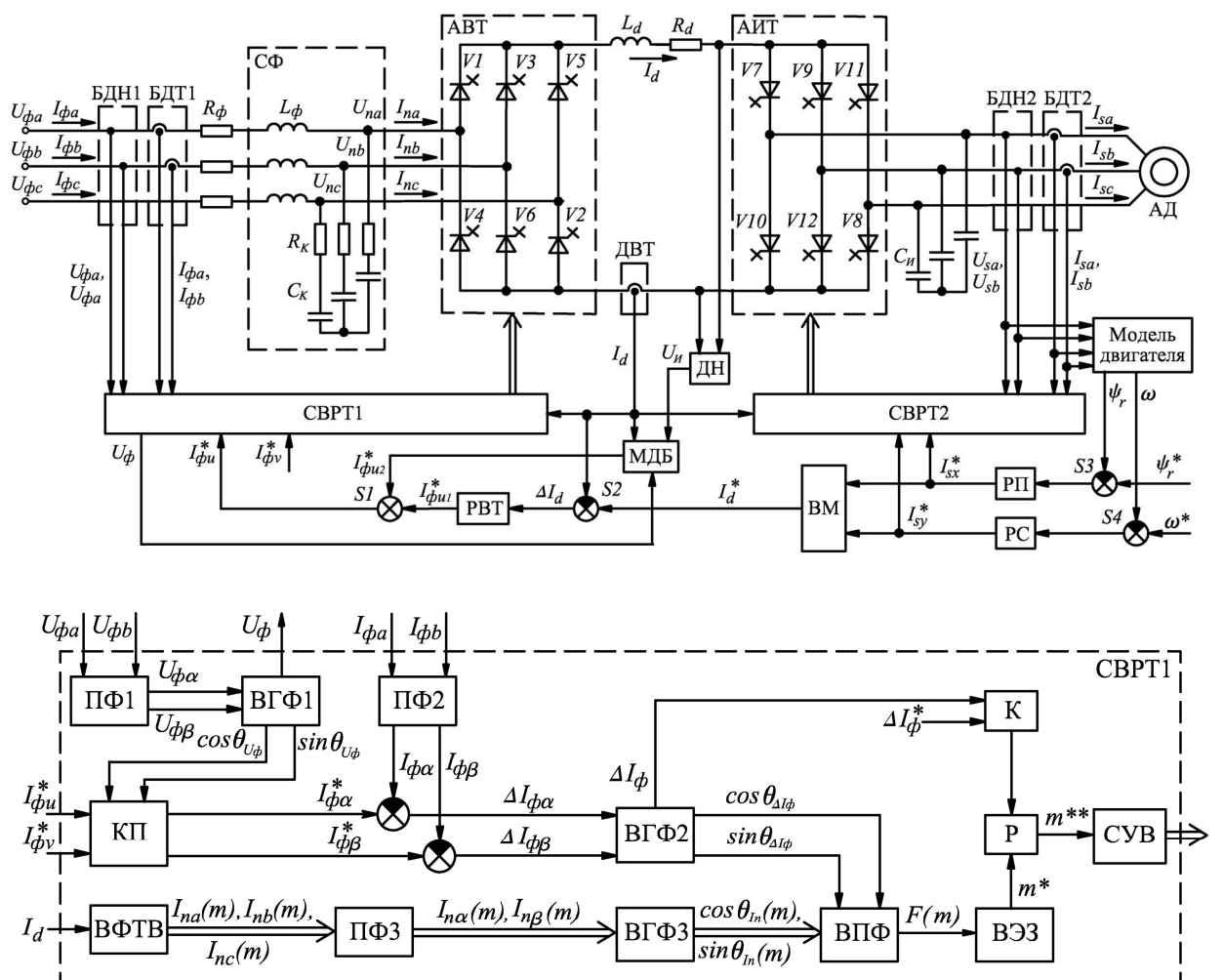


Рис. 1, а, б

Математическая модель АВТ, использующая его идеализированное представление, при котором пренебрегают динамическим запаздыванием силовых ключей и полагают сопротивления этих

ключей равными нулю – в открытом состоянии или бесконечности – в закрытом состоянии, описывается в обобщенных векторах зависимостями

$$\begin{aligned}\bar{U}_\phi &= R_\phi \bar{I}_\phi + L_\phi \frac{d\bar{I}_\phi}{dt} + \bar{U}_n, & \bar{I}_\phi &= \bar{I}_n + C \frac{d}{dt} \left[ \bar{U}_n - R_K \bar{I}_\phi + R_K \bar{I}_n \right], \\ U_d &= R_d I_d + L_d \frac{dI_d}{dt} + U_H,\end{aligned}, \quad (1)$$

где используются следующие обозначения:  $\bar{U}_\phi$ ,  $\bar{I}_\phi$  – обобщенные векторы сетевых напряжения и тока;  $\bar{U}_n$  и  $\bar{I}_n$  – векторы соответственно входных напряжения и тока АВТ;  $U_d$ ,  $I_d$  и  $U_H$  – напряжение и ток на выходе АВТ, напряжение на входе АИТ соответственно. При этом обобщенный вектор  $\bar{I}_n$  и выходное напряжение  $U_d$  АВТ определяются из соотношений

$$\bar{I}_n = \bar{\Phi}_T \cdot I_d, \quad U_d = \frac{3}{2} \operatorname{Re} \left[ \bar{\Phi}_T \cdot \bar{U}_n \right], \quad (2)$$

где  $\operatorname{Re}$  – математическая операция выделения действительной части комплексного числа, а  $\bar{\Phi}_T$  и  $\hat{\bar{\Phi}}_T$  – соответственно вектор коммутационной функции и ей сопряженный вектор, рассчитываемые из следующих зависимостей

$$\bar{\Phi}_T = \frac{2}{3} [\Phi_a + \bar{a}\Phi_b + (\bar{a})^2\Phi_c], \quad \hat{\bar{\Phi}}_T = \frac{2}{3} [\Phi_a + (\bar{a})^2\Phi_b + \bar{a}\Phi_c] \quad (3)$$

через фазные коммутационные функции  $\Phi_a$ ,  $\Phi_b$  и  $\Phi_c$ , которые принимают одно из трех допустимых значений:  $-1$ ,  $0$  или  $1$  в зависимости от текущей выбранной комбинации открытых силовых ключей АВТ, и поворотный множитель  $\bar{a} = e^{j2\pi/3}$ , в котором:  $e$  – основание экспоненты, а  $j = \sqrt{-1}$  – мнимая единица.

Обратим внимание на следующее. Во-первых, на протяжении одного конкретного межкоммутационного интервала (МИ) система уравнений (3) становится линейной (поскольку на данном МИ является неизменным значение вектора  $\bar{\Phi}_T = \bar{\Phi}_T(0) = \text{const}$  коммутационной функции АВТ, где  $\bar{\Phi}_T(0)$  – значение вектора коммутационной функции АВТ на рассматриваемом МИ). Во-вторых, с учетом на практике высокой частоты переключения силовых ключей АВТ и значительной индуктивности дросселя  $L_d$  ток  $I_d$  в звене постоянного тока на протяжении текущего произвольного МИ силовых ключей АВТ в стационарном режиме работы АЭП с АИТ можно считать неизменным ( $I_d = \text{const}$ ). В-третьих, с учетом предыдущих допущений становится неизменным на протяжении рассматриваемого МИ обобщенный вектор входного тока АВТ ( $\bar{I}_n = \text{const}$ ). При этом под межкоммутационным интервалом будем понимать интервал времени между соседними коммутациями силовых ключей АВТ.

С учетом отмеченной линеаризации (в пределах текущего МИ) системы (1) и принятого допущения о постоянстве тока  $I_d$  приведем два первых уравнения из системы (1) к операторному виду

$$\begin{aligned}\bar{U}_n(p) &= \bar{U}_\phi(p) - \bar{I}_\phi(p) \left[ pL_\phi + R_\phi \right] + L_\phi \bar{I}_\phi(0), \\ \bar{U}_n(p) &= \left[ \bar{I}_\phi(p) - \frac{\bar{I}_\phi(0)}{p} \right] \cdot \left[ \frac{1}{Cp} + R_K \right] + \frac{\bar{U}_K(0)}{p},\end{aligned} \quad (4)$$

где  $\bar{U}_\phi(p)$ ,  $\bar{I}_\phi(p)$  и  $\bar{U}_n(p)$  – операторные изображения соответственно векторов  $\bar{U}_\phi(t)$ ,  $\bar{I}_\phi(t)$  и  $\bar{U}_n(t)$ , а  $\bar{I}_\phi(0)$ ,  $\bar{I}_n(0)$  и  $\bar{U}_K(0)$  – начальные значения (на рассматриваемом МИ при времени  $t=0$ ) соответственно векторов  $\bar{I}_\phi(t)$ ,  $\bar{I}_n(t)$  и обобщенного вектора  $\bar{U}_K(t)$  напряжения на конденсаторах  $C_K$ .

При этом значения векторов  $\bar{I}_n(0)$  и  $\bar{U}_K(0)$  рассчитываются по формулам

$$\bar{I}_n(0) = \bar{\Phi}_T(0) \cdot I_d, \quad \bar{U}_K(0) = \bar{U}_n(0) - R_K \left[ \bar{I}_\phi(0) - \bar{I}_n(0) \right], \quad (5)$$

где  $\bar{U}_n(0)$  – начальное значение вектора  $\bar{U}_n(t)$  на рассматриваемом МИ при времени  $t=0$ .

При допущении о синусоидальности и симметрии сетевых фазных напряжений, что достаточно близко выполняется на практике, с применением метода операторного изображения, использование которого для анализа стационарных электромагнитных процессов в линейных трехфазных цепях с  $R$ ,  $L$ ,  $C$  – элементами подробно рассмотрено в [2,5], получим решение системы уравнений (6) относительно обобщенного вектора сетевого тока

$$\bar{I}_\phi(t) = \bar{I}_1(t) + \bar{I}_2(t) + \bar{I}_3(t) + \bar{I}_4(t), \quad (6)$$

в котором составляющие  $\bar{I}_1(t)$ ,  $\bar{I}_2(t)$ ,  $\bar{I}_3(t)$  и  $\bar{I}_4(t)$  рассчитываются из соотношений

$$\bar{I}_1(t) = \bar{I}_n(0) \left\{ 1 + \frac{je^{-t/2T_\phi}}{4T_\phi\omega_0} \left[ e^{j\omega_0 t} \left( I + j2T_\phi\omega_0 - \frac{2T_\phi R_K}{L_\phi} \right) - e^{-j\omega_0 t} \left( I - j2T_\phi\omega_0 - \frac{2T_\phi R_K}{L_\phi} \right) \right] \right\},$$

$$\bar{I}_2(t) = \bar{I}_\phi(0) \frac{je^{-t/2T_\phi}}{4T_\phi\omega_0} \left[ e^{j\omega_0 t} (1 - j2T_\phi\omega_0) - e^{-j\omega_0 t} (1 + j2T_\phi\omega_0) \right],$$

$$\bar{I}_3(t) = j\bar{U}_n(0)e^{-t/2T_\phi} \cdot \frac{e^{j\omega_0 t} - e^{-j\omega_0 t}}{2L_\phi\omega_0}, \quad (7)$$

$$\begin{aligned} \bar{I}_4(t) = & \bar{U}_\phi(0) \left\{ \frac{1}{4L_\phi\omega_0(j(I-L_\phi C_K\omega_I^2)-R_\Sigma C_K\omega_I)} \left[ e^{-t(l/2T_\phi+j\omega_0)} \cdot (e^{j2\omega_0 t}(2L_\phi C_K\omega_0\omega_I + 2 + \right. \right. \\ & \left. \left. + jR_\Sigma C_K\omega_I) + 2L_\phi C_K\omega_0\omega_I - 2 - jR_\Sigma C_K\omega_I) - 4e^{j\omega_I t} L_\phi C_K\omega_0\omega_I \right] \right\}. \end{aligned}$$

В соотношениях (7) собственная частота колебаний  $\omega_0$ , электромагнитная постоянная времени  $T_\phi$  и суммарное активное сопротивление  $R_\Sigma$  находятся из зависимостей

$$\omega_0 = \sqrt{\frac{1}{L_\phi C_K} - \frac{1}{4T_\phi^2}}, \quad T_\phi = L_\phi/R_\Sigma, \quad R_\Sigma = R_\phi + R_K. \quad (8)$$

Основываясь на соотношениях (7), проведены расчеты обобщенных векторов сетевого тока  $\bar{I}_\phi(t)$  и его составляющих  $\bar{I}_1(t)$ ,  $\bar{I}_2(t)$ ,  $\bar{I}_3(t)$ ,  $\bar{I}_4(t)$  через проекции этих векторов на вещественную "α" и мнимую "β" оси неподвижной ортогональной координатной системы (ОКС) "α–β", связанный вещественной осью с геометрической осью обмотки фазы "a" силового трансформатора. При этом начальные для момента времени  $t=0$  значения обобщенных векторов сетевых тока  $\bar{I}_\phi(0)$  и напряжения  $\bar{U}_\phi(0)$ , входных напряжения  $\bar{U}_n(0)$  и тока  $\bar{I}_n(0)$  АБТ были предварительно определены в результате расчета электромагнитных процессов на цифровой имитационной модели рассматриваемого АЭП с АИТ. Согласно данному расчету, осуществленному для стационарного режима работы рассматриваемого АЭП при номинальных значениях скорости и нагрузки двигателя на межкоммутационном интервале  $(0, t_1)$  длительностью 50 мкс, построены годографы движения рассчитанных обобщенных векторов сетевого тока  $\bar{I}_\phi(t)$  и его составляющих  $\bar{I}_1(t)$ ,  $\bar{I}_2(t)$ ,  $\bar{I}_3(t)$ ,  $\bar{I}_4(t)$ , которые показаны на рис. 2.

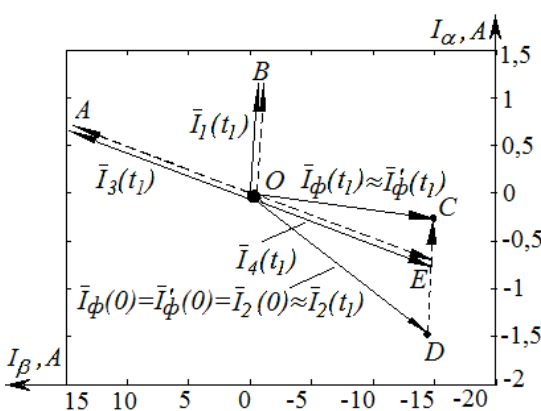


Рис. 2

На данном рисунке начальные значения (при  $t=0$ ) обобщенных векторов  $\bar{I}_\phi(0)$  и  $\bar{I}_2(0)$  тока равны между собой и показаны сплошной линией в виде отрезка  $OD$ , а начальные значения составляющих векторов тока  $\bar{I}_1(0)$ ,  $\bar{I}_3(0)$  и  $\bar{I}_4(0)$ , равные нулю, показаны точкой  $O$ . Конечные значения (при  $t=t_1$ ) на рассматриваемом межкоммутационном интервале упомянутых обобщенных векторов показаны на рис. 2 сплошной линией в виде отрезков:  $OB$  – для  $\bar{I}_1(t_1)$ ;  $OD$  – для  $\bar{I}_2(t_1)$ ;  $OA$  – для  $\bar{I}_3(t_1)$ ;  $OE$  – для  $\bar{I}_4(t_1)$ ;  $OC$  – для  $\bar{I}_\phi(t_1)$ . На этом же рисунке пунктирной линией показаны рассчитанные годографы движения указанных обобщенных векторов на рассматриваемом межкоммутационном интервале в виде кривых:  $DC$  – для  $\bar{I}_\phi(t)$ ;  $OB$  – для  $\bar{I}_1(t)$ ;  $OA$  – для  $\bar{I}_3(t)$ ;  $OE$  – для  $\bar{I}_4(t)$ . Следует отметить, что векторы тока  $\bar{I}_2(0)$  и  $\bar{I}_2(t_1)$  практически совпадают между собой с относительным отклонением менее 5 %, вследствие чего годограф вектора  $\bar{I}_2(t)$  очень мал и не показан на рис. 2. Также для сравнения был рассчитан на созданной имитационной модели АЭП с АИТ уточненный годограф движения обобщенного вектора сетевого тока  $\bar{I}_\phi'(t)$  из начального положения  $\bar{I}_\phi'(0)=\bar{I}_\phi(0)=OD$  в конечное состояние  $\bar{I}_\phi'(t_1)\approx\bar{I}_\phi(t_1)=OC$ , совпадающий с относительным отклонением менее 1 % с годографом обобщенного вектора сетевого тока  $\bar{I}_\phi(t)$ , вычисленным из второй зависимости в (1) с учетом (7).

Следует отметить, что годограф суммы обобщенных векторов  $\bar{I}_2(t)$ ,  $\bar{I}_3(t)$  и  $\bar{I}_4(t)$  на протяжении рассматриваемого МИ силовых ключей АВТ практически не изменялся, то есть указанные векторы взаимно компенсировали друг друга, фактически не оказывая влияния на изменение обобщенного вектора  $\bar{I}_\phi(t)$  сетевого тока. Таким образом, направление изменения приращения  $\Delta\bar{I}_\phi(t)=\bar{I}_\phi(t)-\bar{I}_\phi(0)$  обобщенного вектора сетевого тока  $\bar{I}_\phi(t)$  определяется лишь его первой составляющей  $\bar{I}_1(t)$ , зависящей от обобщенного вектора входного тока  $\bar{I}_n(0)$  выпрямителя. Это позволяет осуществить новый способ прогнозирования направления приращения  $\Delta\bar{I}_\phi(t)$  обобщенного вектора сетевого тока  $\bar{I}_\phi(t)$  на текущем МИ, а именно – по направлению текущего обобщенного вектора входного тока  $\bar{I}_n(t)$  АВТ.

На втором этапе с учетом предложенного нового способа прогнозирования при релейно-векторном управлении разработана система векторного регулирования тока СВРТ1 для активного выпрямителя тока, показанная на рис. 1, б и входящая в состав системы автоматического управления (САУ) рассматриваемым АЭП с АИТ в схеме на рис. 1, а. Данная САУ содержит также в своем составе систему векторного регулирования тока СВРТ2, служащую для управления АИТ; регуляторы выпрямленного тока РВТ, потокосцепления РП и скорости РС двигателя; вычислитель модуля ВМ; модель двигателя; множительно-делительный блок МДБ; датчик входного напряжения ДН инвертора; датчик выпрямленного тока ДВТ; блоки датчиков напряжения БДН1, БДН2 и тока БДТ1, БДТ2; сумматоры S1–S4.

Представленная на рис. 1, а САУ выполнена в соответствии с принципами подчиненного регулирования и функционирует следующим образом. Исходя из отклонений между заданными  $\Psi_r^*$ ,  $\omega^*$  и фактическими  $\Psi_r$ ,  $\omega$  значениями модуля потокосцепления ротора и скорости двигателя, вычисляются на выходах регуляторов РП и РС сигналы задания соответственно намагничивающей  $I_{sx}^*$  и активной  $I_{sy}^*$  проекций обобщенного вектора статорного тока  $\bar{I}_s^*$  двигателя на оси абсцисс "x" и

ординат "у" вращающейся ортогональной координатной системы "x – y", ориентированной осью абсцисс "x" по обобщенному вектору потокосцепления ротора  $\bar{\Psi}_r$  двигателя. Системой регулирования статорных токов СВРТ2, подробно рассмотренной в [1], вычисляется очередная комбинация открытых и закрытых тиристоров АИТ, которая позволяет быстро отрабатывать упомянутые заданные проекции  $I_{sx}^*$  и  $I_{sy}^*$  обобщенного вектора статорного тока  $\bar{I}_s^*$ .

При этом через заданные значения намагничивающей  $I_{sx}^*$  и активной  $I_{sy}^*$  проекций вектора статорного тока  $\bar{I}_s^*$  на выходе вычислителя ВМ согласно зависимости

$$I_d^* = \sqrt{(I_{sx}^*)^2 + (I_{sy}^*)^2} \quad (9)$$

рассчитывается задание на выходной ток  $I_d^*$  выпрямителя для регулятора РВТ.

Посредством сумматора S1 заданное значение  $I_{\phi u}^*$  активной проекции обобщенного вектора сетевого тока  $\bar{I}_\phi^*$  на ось абсцисс "u" вращающейся ОКС "u – v" (ориентированной осью абсцисс "u" по обобщенному вектору сетевого напряжения  $\bar{U}_\phi$ ) вычисляется в виде суммы двух слагаемых из следующего соотношения:

$$I_{\phi u}^* = I_{\phi u 1}^* + I_{\phi u 2}^*. \quad (10)$$

Первое слагаемое задается с выхода регулятора РВТ, а второе – вычисляется множительно-делительным блоком МДБ из зависимости

$$I_{\phi u 2}^* = \frac{2}{3U_\phi} U_H I_d. \quad (11)$$

Последняя зависимость получена, исходя из упрощенного соотношения для баланса активных мощностей на входе и выходе активного выпрямителя с учетом пренебрежения активными потерями мощности на сопротивлении  $R_d$ , элементах сетевого фильтра СФ и активном выпрямителе АВТ, которые на практике оказываются достаточно малы,

$$\frac{3}{2}U_\phi I_{\phi u 2}^* \approx U_H I_d, \quad (12)$$

где  $U_H$  – входное напряжение АИТ;  $U_\phi$  – модуль обобщенного вектора сетевого напряжения;  $I_{\phi u 2}$  – составляющая проекции  $I_{\phi u}^*$  обобщенного вектора сетевого тока  $\bar{I}_\phi^*$  на ось абсцисс "u" ОКС "u – v", вызванная при текущем значении тока  $I_d$  непосредственно влиянием только входного напряжения  $U_H$  инвертора.

В результате такого формирования задания активной проекции  $I_{\phi u}^*$  обобщенного вектора сетевого тока  $\bar{I}_\phi^*$  практически не возникает отклонения  $\Delta I_d$  на выходе сумматора S2 между заданным  $I_d^*$  и фактическим  $I_d$  значениями выходного тока АВТ при возмущении по входному напряжению  $U_H$  инвертора, которое вызывается в АЭП с АИТ изменением значений электромагнитного момента или скорости АД. Этим обеспечиваются повышение быстродействия отработки и уменьшение перерегулирования выходного тока активного выпрямителя.

Следует отметить, что формирование сигнала задания реактивной проекции  $I_{\phi v}^*$  обобщенного вектора сетевого тока  $\bar{I}_\phi^*$  равным нулю позволяет поддерживать практически идеальный активный характер сетевого тока, а не равным нулю – обеспечивает компенсацию посредством АВТ реактивной мощности соседних электропотребителей.

Система векторного регулирования СВРТ1, воздействуя на силовые ключи АВТ, формирует близкие по форме к синусоидальным сетевые фазные токи

$$I_{\phi a} \approx I_{\phi}^* \cos \theta_{U\phi}, \quad I_{\phi b} \approx I_{\phi}^* \cos(\theta_{U\phi} - 2\pi/3), \quad I_{\phi c} \approx I_{\phi}^* \cos(\theta_{U\phi} + 2\pi/3) , \quad (13)$$

которые обеспечивают, в свою очередь, создание в рассматриваемом АЭП текущих значений выходного тока выпрямителя  $I_d$  и реактивной проекции сетевого тока  $I_{\phi v}$ , равных их заданным значениям:  $I_d \approx I_d^*$  и  $I_{\phi v} \approx I_{\phi v}^*$ . В зависимостях (13) используются обозначения:  $\theta_{U\phi}$  и  $I_{\phi}^*$  – соответственно аргумент обобщенного вектора сетевого напряжения  $\bar{U}_{\phi}$  и заданное значение модуля обобщенного вектора сетевого тока, вычисляемое в виде

$$I_{\phi}^* = \sqrt{(I_{\phi u}^*)^2 + (I_{\phi v}^*)^2} . \quad (14)$$

Показанная на рис. 1, б функциональная схема СВРТ1 содержит преобразователи фаз ПФ1, ПФ2 и ПФ3; координатный преобразователь КП; вычислитель фазных токов выпрямителя ВФТВ; вычислители гармонических функций ВГФ1, ВГФ2 и ВГФ3; вычислитель прогнозирующего функционала ВПФ; вычислитель экстремального значения ВЭЗ; компаратор К; регистр Р; систему управления активным выпрямителем тока СУВ. В системе СВРТ1 реализован предложенный новый способ ПРВ управления АВТ, который осуществляется следующим образом. Через два контролируемых фазных сетевых напряжения  $U_{\phi a}$  и  $U_{\phi b}$  вычисляют на выходе преобразователя фаз ПФ1 проекции  $U_{\phi \alpha}$  и  $U_{\phi \beta}$  обобщенного вектора сетевого напряжения  $\bar{U}_{\phi}$  на оси неподвижной ОКС "α – β" [5]

$$U_{\phi \alpha} = U_{\phi a}, \quad U_{\phi \beta} = (U_{\phi a} + 2U_{\phi b})/\sqrt{3}, \quad (15)$$

через которые посредством вычислителя ВГФ1 определяются функции от аргумента  $\theta_{U\phi}$  этого вектора

$$\cos \theta_{U\phi} = U_{\phi \alpha} / U_{\phi}, \quad \sin \theta_{U\phi} = U_{\phi \beta} / U_{\phi}, \quad U_{\phi} = \sqrt{(U_{\phi \alpha})^2 + (U_{\phi \beta})^2} . \quad (16)$$

Через полученные гармонические функции  $\cos \theta_{U\phi}$  и  $\sin \theta_{U\phi}$  и заданные значения активной  $I_{\phi u}^*$  и реактивной  $I_{\phi v}^*$  проекций обобщенного вектора сетевого тока  $\bar{I}_{\phi}^*$  в координатном преобразователе КП рассчитываются в неподвижной ОКС "α – β" заданные проекции  $I_{\phi \alpha}^*$ ,  $I_{\phi \beta}^*$  указанного обобщенного вектора сетевого тока [5].

В вычислителе ВГФ2 рассчитываются функции  $\cos \theta_{\Delta I\phi}$  и  $\sin \theta_{\Delta I\phi}$  от аргумента  $\theta_{\Delta I\phi}$  обобщенного вектора отклонения сетевого тока  $\Delta \bar{I}_{\phi} = \bar{I}_{\phi}^* - \bar{I}_{\phi}$

$$\cos \theta_{\Delta I\phi} = \Delta I_{\phi \alpha} / \Delta I_{\phi}, \quad \sin \theta_{\Delta I\phi} = \Delta I_{\phi \beta} / \Delta I_{\phi}, \quad \Delta I_{\phi} = \sqrt{(\Delta I_{\phi \alpha})^2 + (\Delta I_{\phi \beta})^2} \quad (17)$$

через проекции  $\Delta I_{\phi \alpha}$  и  $\Delta I_{\phi \beta}$  данного вектора на оси неподвижной ОКС "α – β".

В табл. 1 приведены все возможные рабочие комбинации ( $m=1,2..6$ ) силовых ключей АВТ и соответствующие им фазные значения входных токов выпрямителя. Через фактическое значение выходного тока  $I_d$  выпрямителя в блоке ВФТВ определяются согласно табл. 1, в которой открытые тиристоры показаны знаком "\*", для всех возможных комбинаций открытых и закрытых тиристоров V1–V6 АВТ его прогнозируемые значения входных фазных токов  $I_{na}(m)$ ,  $I_{nb}(m)$  и  $I_{nc}(m)$ . Через последние, в свою очередь, посредством преобразователя фаз ПФ3 вычисляются проекции  $I_{n\alpha}(m)$  и  $I_{n\beta}(m)$  прогнозируемых обобщенных векторов входного тока  $\bar{I}_n(m)$  АВТ на оси неподвижной ОКС "α – β". По данным проекциям в вычислителе ВГФ3 рассчитываются гармонические функции  $\cos \theta_{ln}(m)$  и  $\sin \theta_{ln}(m)$  от аргумента  $\theta_{ln}(m)$  прогнозируемых обобщенных векторов входного тока  $\bar{I}_n(m)$  выпрямителя

$$\cos \theta_{ln}(m) = I_{n\alpha}(m) / I_n(m), \quad \sin \theta_{ln}(m) = I_{n\beta}(m) / I_n(m), \quad I_n(m) = \sqrt{I_{n\alpha}^2(m) + I_{n\beta}^2(m)} . \quad (18)$$

С помощью вычислителя ВПФ через его входные сигналы, равные тригонометрическим функциям  $\cos\theta_{\Delta I\phi}$ ,  $\sin\theta_{\Delta I\phi}$  и  $\cos\theta_{In}(m)$ ,  $\sin\theta_{In}(m)$ , вычисляется прогнозирующий функционал  $F(m)$  согласно зависимости

$$F(m) = [\cos\theta_{\Delta I\phi}] [\cos\theta_{In}(m)] + [\sin\theta_{\Delta I\phi}] [\sin\theta_{In}(m)] = \cos [\theta_{\Delta I\phi} - \theta_{In}(m)]. \quad (19)$$

**Таблица 1**

Номер комбинац. $m$	Открытые тиристоры АВТ						Входные токи АВТ		
	V1	V2	V3	V4	V5	V6	$I_{na}$	$I_{nb}$	$I_{nc}$
1	*	*					$+I_d$	0	$-I_d$
2		*	*				0	$+I_d$	$-I_d$
3			*	*			$-I_d$	$+I_d$	0
4				*	*		$-I_d$	0	$+I_d$
5					*	*	0	$-I_d$	$+I_d$
6	*					*	$+I_d$	$-I_d$	0

Посредством вычислителя ВЭЗ определяется экстремальное (максимальное) значение прогнозирующего функционала  $F(m^*) = \max$  и соответствующая ему комбинация  $m^*$  открытых тиристоров АВТ. Выбранная комбинация  $m^*$  определяет в соответствии с табл. 1 открытые тиристоры АВТ, на которые поступают соответствующие отпирающие импульсы от системы СУВ, и обеспечивает наилучшее совпадение между собой по направлению векторов  $\Delta\bar{I}_\phi$  и  $\bar{I}_n(m^*)$ , что позволяет быстро действующим образом отрабатывать возникающие рассогласования между соответственно заданными  $I_{\phi\alpha}^*$ ,  $I_{\phi\beta}^*$  и фактическими  $I_{\phi\alpha}$ ,  $I_{\phi\beta}$  проекциями обобщенных векторов  $\bar{I}_\phi^*$  и  $\bar{I}_\phi$  сетевого тока.

Для ограничения частоты переключения запираемых тиристоров АВТ служат компаратор К и регистр Р. С помощью компаратора К сравнивается заданное значение уставки  $\Delta I_\phi^*$  с фактическим модулем  $\Delta I_\phi$  обобщенного вектора рассогласования сетевого тока  $\Delta\bar{I}_\phi$ , определяемым вычислителем ВГФ2 согласно последнему соотношению из (17).

Если фактическое значение модуля  $\Delta I_\phi$  обобщенного вектора рассогласования сетевого тока  $\Delta\bar{I}_\phi$  меньше уставки  $\Delta I_\phi^*$ , то регистр Р сохраняет неизменной и соответствующей предыдущему моменту времени комбинацию  $m^{**}$  открытых тиристоров АВТ

$$m = m^{**} = \text{const} \quad \text{при } \Delta I_\phi^* \geq \Delta I_\phi; \quad (20)$$

если значение  $\Delta I_\phi$  превысило уставку  $\Delta I_\phi^*$ , то заданное значение комбинации  $m$  открытых тиристоров АВТ изменяется на новое  $m^*$ , определяемое на выходе вычислителя ВЭЗ

$$m = m^* \quad \text{при } \Delta I_\phi^* < \Delta I_\phi. \quad (21)$$

На третьем этапе для рассмотренной функциональной схемы (рис. 1, а) была создана цифровая имитационная модель АЭП с АИТ со следующими параметрами силовой цепи:  $R_\phi = 0,01$  Ом,  $R_K = 1$  Ом,  $R_d = 0,2$  Ом,  $L_\phi = 0,001$  Гн,  $C_K = 50$  мкФ,  $L_d = 0,15$  Гн,  $C_H = 50$  мкФ. В данной модели используется общепринятое идеализированное представление АД [5] и учитывается фактическая несинусоидальная форма входных и выходных напряжений (токов) АВТ и АИТ, а также принимается во внимание дискретность работы их силовых ключей. При расчетах на имитационной модели АЭП с АИТ частота дискретизации вычислений в системе автоматического управления составляла 10 мкс, а для двигателя и силовой схемы АЭП шаг расчетов был задан переменным, но не более 1 мкс. Сетевые фазные напряжения  $U_{\phi a}$ ,  $U_{\phi b}$  и  $U_{\phi c}$  задавались синусоидальными и симметричными (частотой 50 Гц и действующими значениями, равными 220 В).

Посредством данной имитационной модели были рассчитаны для двигателя 4A132S6У3 мощностью 5,5 кВт стационарные электромагнитные и переходные электромеханические процессы. В частности, на рис. 3 показаны электромеханические переходные процессы АЭП с АИТ в режимах начального насыщения магнитной цепи, разгона до номинальной скорости  $\omega_n$ , наброса положительной и отрицательной полярности номинального значения  $M_h$  момента нагрузки  $M_c$ , сброса нагрузки, реверса и торможения (до полной остановки), а на рис. 4 – стационарные электромагнитные процессы при номинальной скорости и разных значениях момента  $M_c$  нагрузки ( $a$  – для  $M_c = M_h$ ,  $b$  – для  $M_c = -M_h$ ).

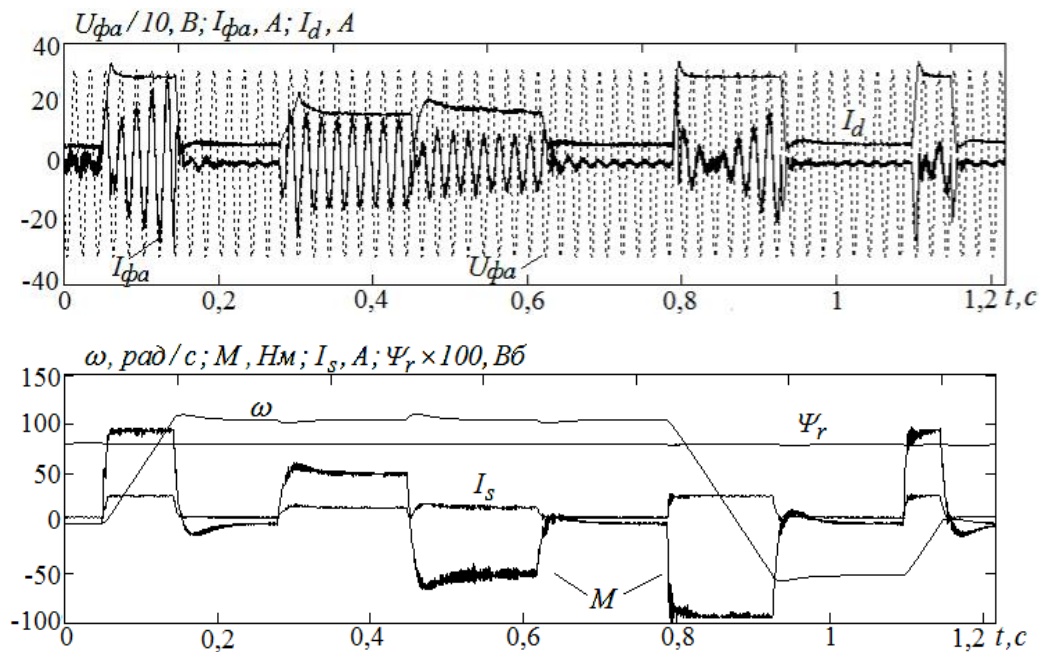


Рис. 3,  $a$ ,  $b$

В табл. 2 приведены рассчитанные для указанных стационарных режимов основные показатели ЭМС рассматриваемого АЭП с питающей сетью. На данных рисунках и в табл. 2 используются следующие обозначения:  $M$ ,  $\omega$  – электромагнитный момент и угловая скорость АД;  $I_s$ ,  $\Psi_r$  – соответственно модули обобщенных векторов статорного тока и потокосцепления ротора двигателя;  $U_{sa}$ ,  $I_{sa}$  и  $\Psi_{ra}$  – фазные значения статорных напряжения и тока, потокосцепления ротора АД соответственно; THD – общий коэффициент гармоник сетевого тока;  $K_M$  – сетевой коэффициент мощности (рассчитываемый для  $I_{phi}^*=0$ );  $f_{ABT}$  и  $f_{AIT}$  – частоты коммутации силовых ключей АБТ и АИТ соответственно.

Таблица 2

$\omega$ , рад/с	$M_c$ , Нм	THD, %	$K_M$ , о. е.	$f_{ABT}$ , Гц	$f_{AIT}$ , Гц
$\omega = \omega_n$	$M_c = M_h$	4,69	0,997	3580	1460
	$M_c = -M_h$	8,79	-0,994	5040	780
$\omega = 0,5\omega_n$	$M_c = M_h$	5,7	0,994	4510	1110
	$M_c = -M_h$	13,4	-0,953	5050	820
$\omega = 0,1\omega_n$	$M_c = M_h$	9,3	0,98	5010	890
	$M_c = -M_h$	17,1	0,925	5080	960

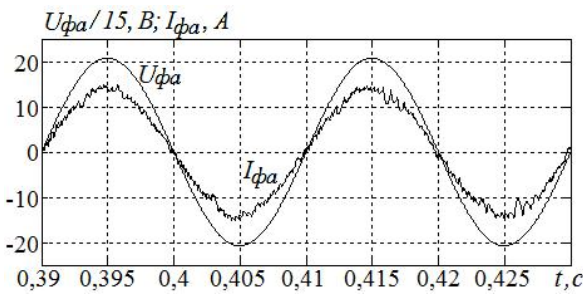


Рис. 4, а

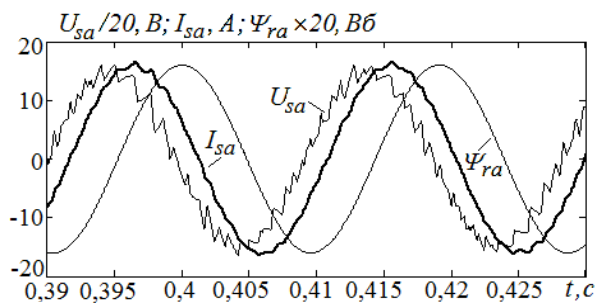


Рис. 4, б

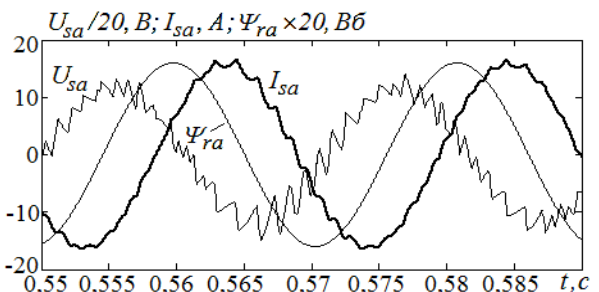
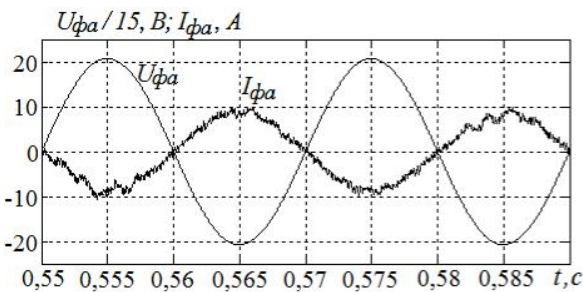


Рис. 4, б

### Выводы.

Предложенное управление АВТ обладает следующими преимуществами по сравнению с известным способом ПРВ управления АВТ, рассмотренным в [7],:

- упрощение, обусловленное как упрощением вычислительного алгоритма определения прогнозирующего функционала, так и исключением датчиков входного напряжения АВТ;
- некритичность предложенного способа к уходу параметров элементов силовой схемы АЭП, в котором требуется корректировка прогнозирующего функционала в эксплуатации при дрейфе активных сопротивлений  $R_\phi$  и емкости  $C_k$  конденсаторов СФ;
- уменьшенное с 18 до 3 % перерегулирование при отработке двукратного (от номинального) значения выходного тока  $I_d$  АВТ, вызванное возмущениями по входному напряжению инвертора, присущими рассматриваемому АЭП при изменении электромагнитного момента и скорости двигателя, что достигается путем введения на вход сумматора S1 в функциональной схеме САУ компенсирующего сигнала  $I_{phi2}^*$  с выхода МДБ;
- равносильные высокое быстродействие, характеризуемое временем менее 10 мс при отработке двукратных от номинальных значений статорного тока и электромагнитного момента, и нормированное качество регулирования электромеханических процессов (статорного тока, потокосцепления ротора и скорости) электропривода с АИТ на запираемых тиристорах.

Перечисленные преимущества предложенного управления АВТ получены за счет: во-первых, нахождения более простого и одновременно эффективного прогнозирующего функционала (19) при осуществлении ПРВ управления АВТ; во-вторых, применения разработанной схемы СВРТ1, реализующей данное управление (рис. 1, б); в-третьих, формирования дополнительной (компенсирующей) составляющей  $I_{phi2}^*$ , прямо пропорциональной согласно (11) входному напряжению  $U_H$  инвертора и выходному току  $I_d$  АВТ, в сигнал задания проекции  $I_{phi}^*$  сетевого тока.

Достигнуто высокое качество электромагнитной совместимости рассматриваемого электропривода с питающей сетью, характеризуемое при номинальных значениях скорости и нагрузки двигателя сетевым коэффициентом мощности, равным 0,997, и общим коэффициентом гармоник сетевого тока, равным 4,69 %.

1. Волков А.В., Косенко А.И. Асинхронный электропривод на основе автономного инвертора тока с широтно-импульсной модуляцией // Техн. електродинаміка. Тем. вип. «Проблеми сучасної електротехніки». – 2008. – Ч.1. – С. 81–86.
2. Волков А.В., Косенко А.И. Аналіз електромагнітних процесів асинхронного двигуна при підтриманні струму з широтно-импульсною модуляцією // Техн. електродинаміка. – 2009. – №1. – С. 12–19.
3. Ефимов А.А., Шрейнер Р.Т. Активні преобразувачі частоти в регульованих електроприводах змінного струму. – Новочеркаськ: НГТИ, 2001. – 250 с.
4. Лазарев Г.Б. Мощні високовольтні преобразувачі частоти для регульованого електропривода в електроенергетиці // Електротехніка. – 2005. – №11. – С. 3–8.
5. Пивняк Г.Г., Волков А.В. Современные частотно-регулируемые асинхронные электроприводы с широтно-импульсной модуляцией. – Дніпропетровськ: НГУ, 2006. – 470 с.
6. Шрейнер Р.Т. Математичне моделювання електроприводів змінного струму з полупровідниковими преобразувачами частоти. – Екатеринбург: УРО РАН, 2000. – 654 с.
7. Шрейнер Р.Т., Ефимов А.А., Мухаметшин И.А. Прогнозуюче релейно-векторне управління активними токовими преобразувачами частоти в системах електроснабження і електропривода // Електроприводи змінного струму. Труды межд. XIII науч.-техн. конф. – Екатеринбург: УГТУ-УПИ. – 2005.– С. 137–140.
8. Шрейнер Р.Т., Ефимов А.А., Зиновьев Г.С. и др. Прогнозуюче релейно-векторне управління активними преобразувачами частоти в системах електропривода змінного струму // Електротехніка. – 2004. – №10. – С. 43–50.
9. Шрейнер Р.Т., Ефимов А.А., Мухаметшин И.А. Релейне управління активними токовими преобразувачами частоти // Електротехніка. – 2005. – №9. – С. 47–53.
10. Rodríguez J.R., Dixon J.W., Espinoza J.R. and all. PWM regenerative rectifiers: state of the art // IEEE Trans. IE. – 2005. – Vol. 52. – №1. – Pp. 5–21.
11. Wu B., Pontt J., Rodriguez J., Bennett S. Current Source Converter and Cycloconverter Topologies for Industrial Medium Voltages Drives // IEEE Trans. IE. – 2008. – Vol. 55. – №7. – Pp. 2786–2797.

Надійшла 23.06.2009